УДК 551.466 <u>ГЕОФИЗИКА</u>

к. в. коняев, к. д. сабинин

НОВЫЕ ДАННЫЕ О ВНУТРЕННИХ ВОЛНАХ В МОРЕ, ПОЛУЧЕННЫЕ С ПОМОЩЬЮ РАСПРЕДЕЛЕННЫХ ДАТЧИКОВ ТЕМПЕРАТУРЫ

(Представлено академиком Л. М. Бреховских 29 V 1972)

Наиболее простой и распространенный способ индикации внутренних воли основан на измерении колебаний температуры в термоклине — слое с большим градиентом температуры по глубине $\beta(z) = \partial T(z) / \partial z$, где T(z) — зависимость температуры воды от глубины z. Колебания температуры измеряются точечными датчиками и, как правило, передают колебания водных слоев с большими искажениями $\binom{4}{3}$. Это снижает достоверность сведений о внутренних волнах, полученных по записям температуры.

Если не учитывать изменения амилитуды колебаний водных слоев по глубине, то колебания температуры $T_{z_0}(t)$ в фиксированной точке на глубине z_0 зависят от колебаний водных слоев z(t) и от изменения температуры воды по глубине T(z):

$$T_{z_0}(t) = T[z_0 + z(t)].$$

Впутренние волны неискаженно преобразуются в колебания температуры только при линейной зависимости температуры от глубины: $T(z) = \alpha + \beta z$, где α и β постоянные. Колебания температуры в этом случае оказываются пропорциональными z(t):

$$T_{z_0}(t) = \alpha + \beta z_0 + \beta z(t).$$

Однако температурный градиент в практически всегда быстро и в больших пределах изменяется по глубине (1), что порождает указанные нелинейные искажения.

Искажения можно существенно ослабить, введя усреднение температуры по глубине:

$$T_{z_0, \Delta z}(t) = \frac{1}{\Delta z} \int_{z_0 - \Delta z/2}^{z_0 + \Delta z/2} T[z(t)] dz,$$

где z_0 — глубина середины интервала усреднения, Δz — протяженность интервала усреднения.

Реальные крпвые T(z) в первом приближении часто можно представить в виде одной ступени: верхний слой воды имеет постоянную по глубине температуру T_1 , нижний слой — температуру T_2 , изменение температуры происходит скачком на границе раздела (двухслойная модель). При наличии внутренних воли температура $T_{z_0}(t)$ в этом случае либо изменяется скачками от T_1 к T_2 и обратно, либо вообще не изменяется. Средняя температура $T_{z_0, \Delta z}(t)$ при условии, что Δz больше амилитуды внутренних воли, оказывается пропорциональной колебаниям z(t):

$$T_{z_0, \Delta z}(t) = \frac{1}{\Delta z} \left\{ \left[z_0 - z(t) \right] T_1 + \left[z_0 + z(t) \right] T_2 \right\} = \frac{T_1 - T_2}{\Delta z} z(t) + \text{const.}$$

Коэффициентом пропорциональности между z(t) и средней температурой служит средний на длине Δz градиент температуры $\beta_{\Delta z} = (T_1 - T_2) / \Delta z$.

При усложнении формы T(z) возникают нелинейные искажения и в колебаниях средней температуры, однако эти искажения всегда меньше, чем

искажения температуры в точке, так как средний градиент температуры $\beta_{\Delta z}$ изменяется по глубине значительно более плавно, чем точечный градиент β . Средний градиент $\beta_{\Delta z}$ более стабилен также по пространству (в горизонтальной плоскости) и по времени, что позволяет увереннее судить об истинной амилитуде внутренних воли и, в частности, сопоставлять по величине волны, измеренные в разных точках пространства.

Амплитуды внутренних волн разных мод по-разному изменяются по глубине. Это приводит к тому, что в записи средней температуры колебания разных мод передаются избирательно, причем избирательность зависит от параметров интервала усреднения z_0 и Δz .

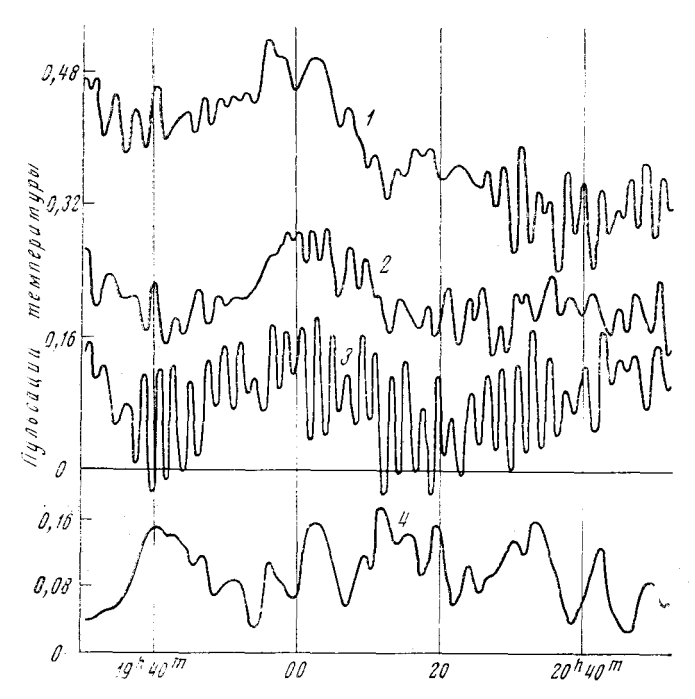


Рис. 1. Колебания температуры (в градусах) трех распределенных датчиков, разнесенных в горизонтальной плоскости (I-3) и огибающая колебаний кривой 3 (4); 4 X 1971 г.

Средняя по глубине температура может измеряться распределенным по глубине датчиком температуры, имеющим вид вертикально вытянутой проволоки длиной Δz , электрически изолированной от воды. Полное электрическое сопротивление проволоки изменяется пропорционально средней на длине проволоки температуре воды. Распределенные датчики температуры были применены для измерения внутренних воли в прибрежной зоне Черного моря в сентябре и октябре 1971 г. Ниже обсуждаются основные результаты измерений.

На записях температуры, полученных на одном, двух или трех разнесенных в пространстве 40-метровых распределенных датчиках (основная площадка наблюдений находилась в 500 м от берега при глубине около 60 м, вертикальные проволочные датчики охватывали слой воды от 5 до 45 м) в диапазоне высокочастотных колебаний (периоды от 1 до 5 мин.) можно выделить три типа кривых: запись без высокочастотных колебаний; беспорядочные не очень интенсивные высокочастотные колебания; цуги, длиной до 35 воли. квазисинусоидальных относительно интенсивных колебаний, главным образом с периодом около 2 мин. (рис. 1). В ряде случаев цуги локализуются не только во времени, но и в пространстве: один из наиболее длипных цугов, например, наблюдается только на одном из трех

датчиков, расположенных в горизонтальной илоскости в вершинах треугольшика со сторонами 110, 115 и 170 м. Всего в течение трех недель зафиксировано не менее 14 ярко выраженных цугов, которые четко выделяются на записях при визуальном просмотре. Цуговый (перемежающийся) характер и узконолосность колебаний температуры точечного датчика

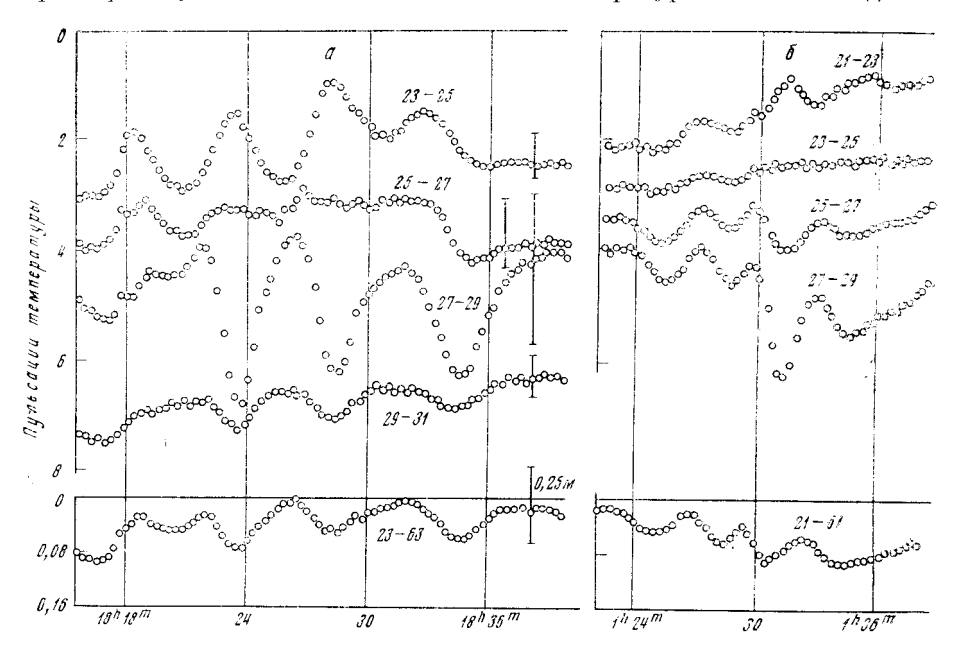


Рис. 2. Колебания температуры (в градусах) четырех двухметровых и одного сорокаметрового датчика. Цифрами у кривых обозначены интервалы глубин (в метрах), охватываемых соответствующими датчиками. Вертикальные линии у каждой из кривых показывают изменение регистрируемой температуры при изменении глубины соответствующего датчика на один метр. $a-16~\mathrm{X}$ 1971 г., $\delta-17~\mathrm{X}$ 1971 г.

в термоклине в условнях моря и океана отмечались и ранее (3, 4), однако точечный датчик может индицировать ложные цуги.

Такая картина высокочастотных колебаний не согласуется с распространенным представлением о внутренних волнах как об относительно однородном и стационариом случайном поле. При цуговом строении колебаний оперирование усредненным энергетическим спектром неправомерно и не позволяет передать характерные черты поля, поэтому рассматриваются спектры колебаний в пределах отдельных цугов. При небольшом усреднении по частоте спектры имеют вид узкого хорошо выраженного пика с отношением несущей частоты к ширине пика, достигающим 40. Столь узкополосные колебания могут возникать только в высокодобротной колебательной системе.

Беспорядочные высокочастотные колебания вне цугов, как правило, обладают меньшей интенсивностью и, возможно, являются остатками разрушившихся цугов.

Квазисинусоидальный характер колебаний в цугах позволяет выделить огибающую колебаний. Огибающая наиболее длинного цуга (рис. 1, 4) имеет выборочное распределение вероятностей, более близкое к нормальному, чем к рэлеевскому. Кроме того, она ни разу в пределах цуга не достигает нулевого значения, а фаза колебаний соответственно не испытывает скачкообразного изменения на 180°. Вероятность появления столь длинного цуга без скачков фазы равна 0,1 для шума с рэлеевской огибающей и близка к 1 для шума с нормальной огибающей.

Вывод, что наблюденный цуг является узкополосным шумом с огибаюшей, распределенной по нормальному закону, важен для выбора между двумя возможными механизмами возпикновения цугов внутрепних воли: резонаисное возбуждение ветровыми волнами (5,6) или генерация воли из-за неустойчивости Гельмгольца в слое с вертикальным градиентом горизонтальной скорости движения воды. В первом случае эквивалентная

линейного вил пассивного фильтра, на входе которого действует широкополосный шум, а на выходе наблюдается узконолосный Огибающая шума в этом случае имеет рэлеевское распределение. Во втором случае работает автогенератор, содержащий избирательный фильтр. Огибающая генерируемых колебаний имеет пормальное распределе-(7). Эксперимент свидетельствует в нользу второго механизма: колебания в цугах создаются в результате автогенерации.

Модальный состав внутренних волн определялся по колебаниям температуры четырех двухметровых распределенных датчиков, установленных в термоклине один за другим на одной вертикали. Наблюдения велись в течение 36 час., причем почти все это время существовали внутренние волны.

Высокочастотные колебания (периоды от 1 до 5 мин.) на всех четырех датчиках почти полностью подобны в течение

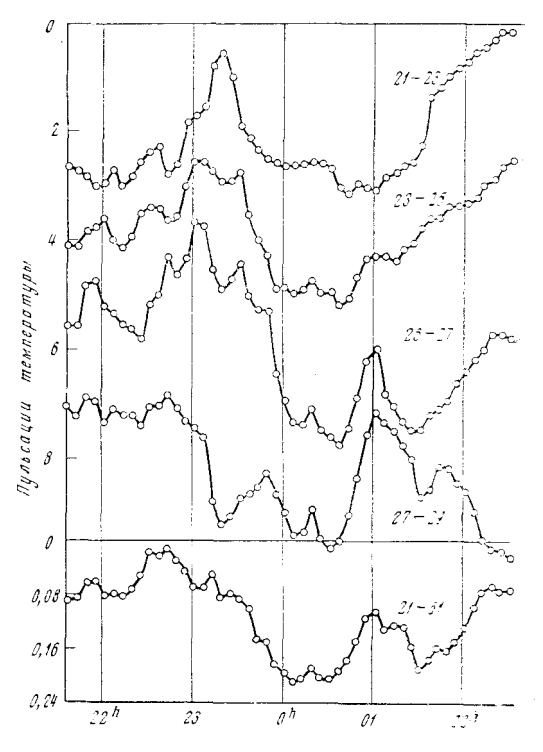


Рис. 3. То же, что на рис. 2, но записи темнературы сглажены по времени (интервалк сглаживания 6 мин.)

94% времени наблюдения. Связка датчиков перекрывает практически весь слой воды, в котором могут существовать высокочастотные колебания, поэтому можно говорить о преимущественном развитии колебаний первой моды. Половину остального времени (3%) занимают более или менее четкие колебания только второй моды (рис. 2a). Наибольшая продолжительность непрерывных колебаний второй моды равна 3—4 периодам. Переходы от колебаний первой моды ко второй и обратно часто происходят скачкообразно без существенного изменения амплитуды колебаний (рис. 2б). Оставшиеся 3% времени запяты одновременными колебаниями первой и более высоких мод.

Низкочастотные колебания (периоды более 5 мин.) на четырех датчиках почти все время различаются по форме, что можно объяснить болеебогатым модальным составом этих колебаний и постоянным присутствием колебаний разных мод (рис. 3).

Акустический институт Москва

Поступило 26 IV 1972

ЦИТИРОВАННАЯ ЛИТЕРАТУРА

¹ C. Cox, J. Nagata, T. Osborn, Bull. Japan. Soc. Fisheries Oceanogr., Special Number, 67 (1969). ² O. M. Phillips, J. Phys. Oceanogr., 1, 1 (1971). ³ K. Kaile, Ann. Hydrogr. u. Marit. Meteorol. 70, 383 (1942). ⁴ R. Д. Сабинин, Физика атмосферы и океана, 7, № 5, 571 (1971). ⁵ О. Филлипс, Динамика верхнего слоя океана, М., 1969. ⁶ Л. М. Бреховских, В. В. Гончаров и др., Физика атмосферы и океана, 8, № 2, 192 (1972). ⁷ С. М. Рытов, Введение в статистическую радиофизику, М., 1966.